

Figura 1. Población celular de partida. Pureza 100% de células B

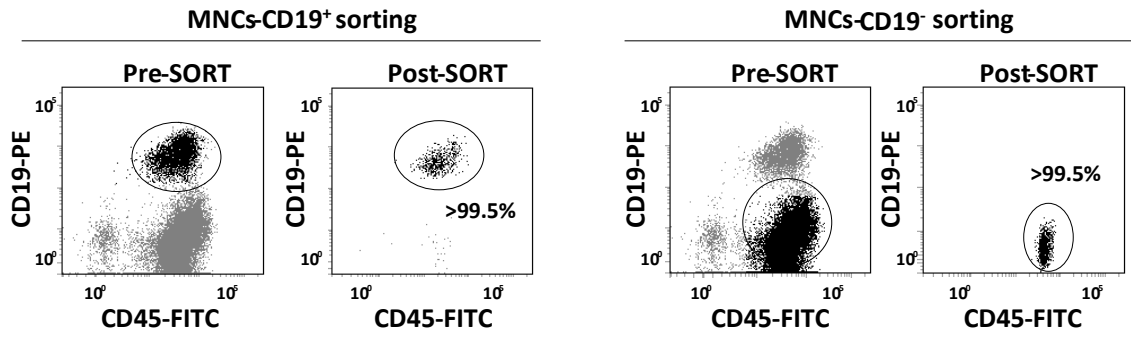


Figura 2. Reordenamientos VDJH confirmando origen B de las iPSC

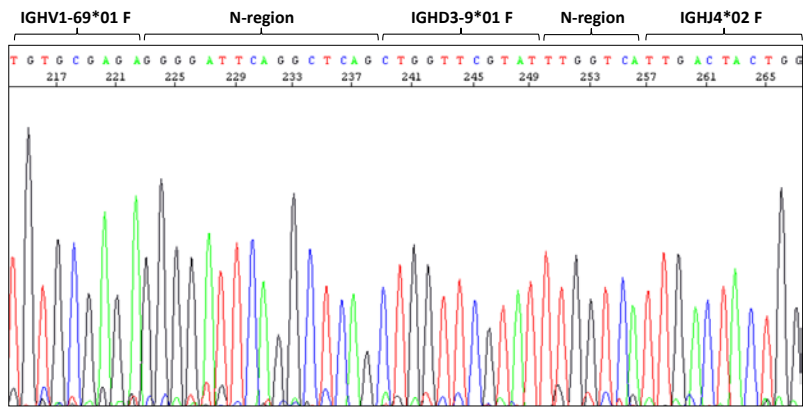
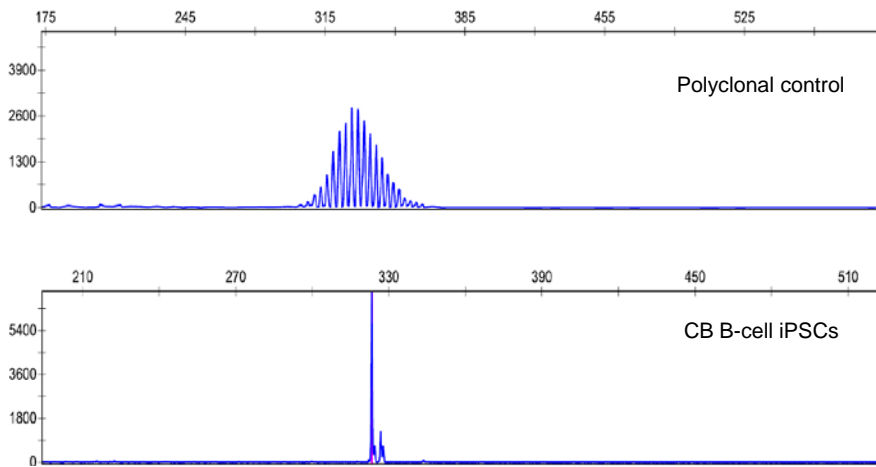


Figura 3. Morfología de la B-cell iPSC.

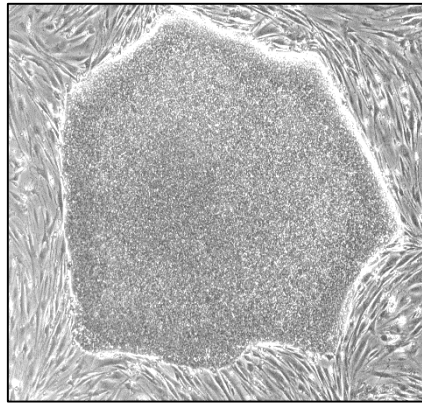


Figura 4a. Marcaje para AP

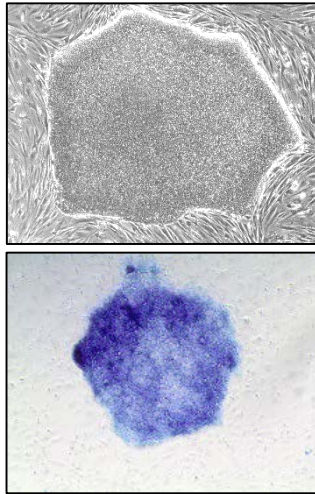


Figura 4b. Inmunos y FACS para marcadores de pluripotencia

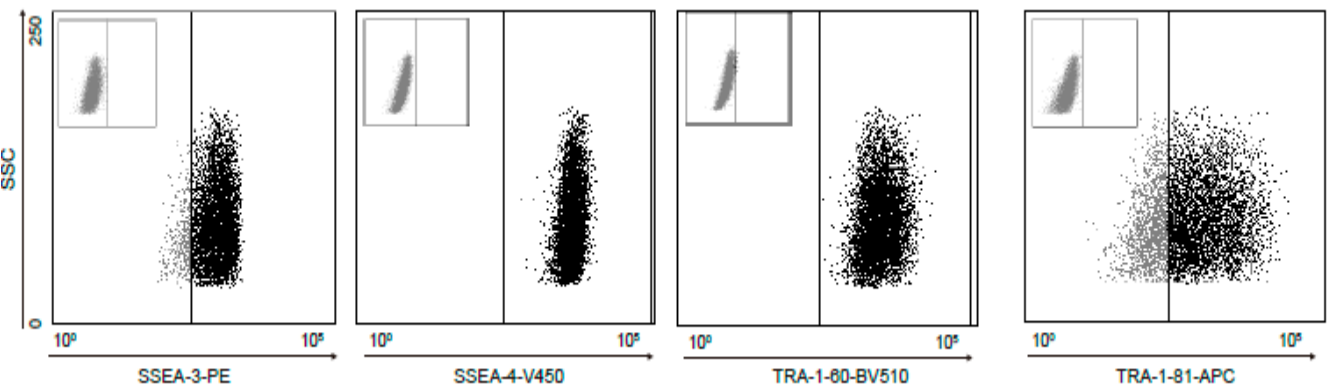
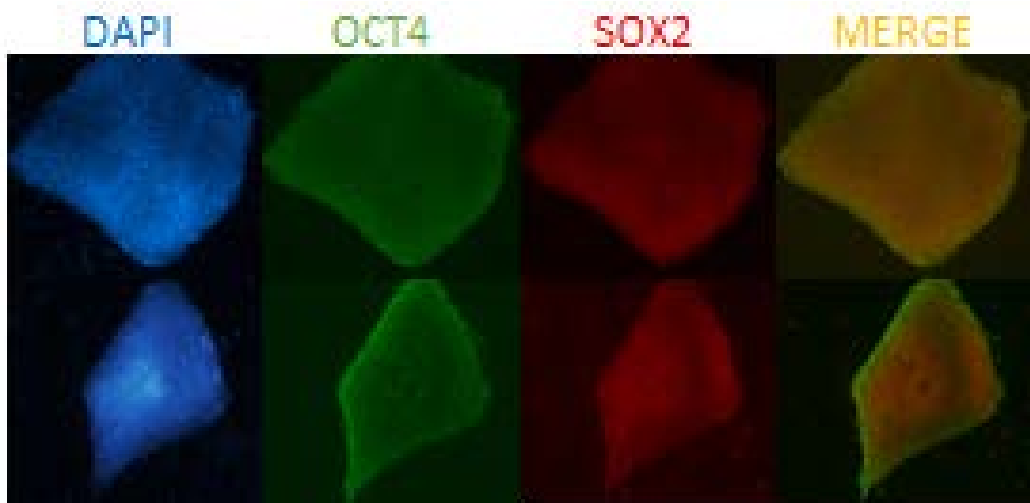


Figura 4c. qRT-PCR para factores de pluripotencia

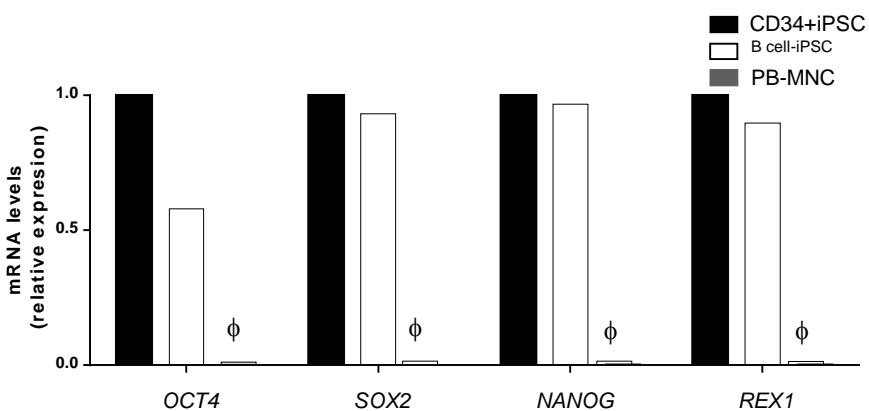


Figura 5. Diferenciación in vitro dirigida a sangre, CD45+

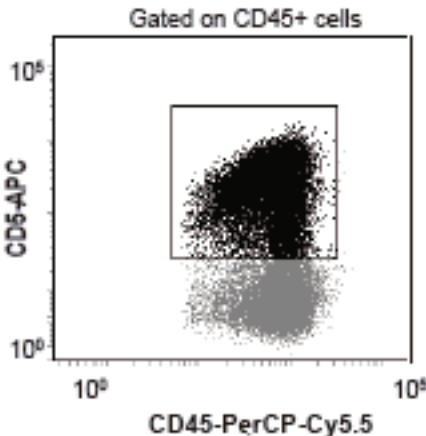
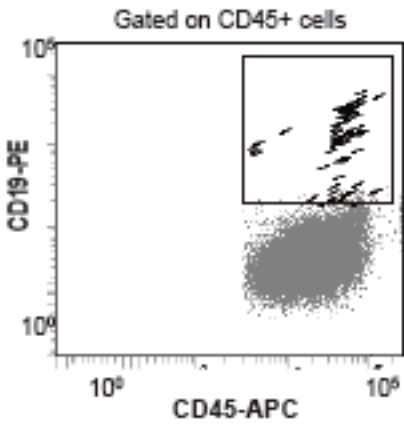
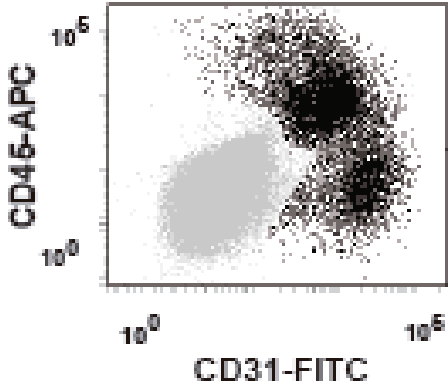
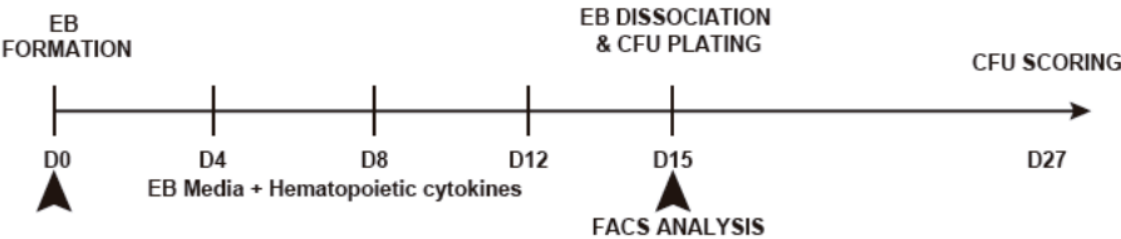


Figura 6. Teratomas in vivo en NSG

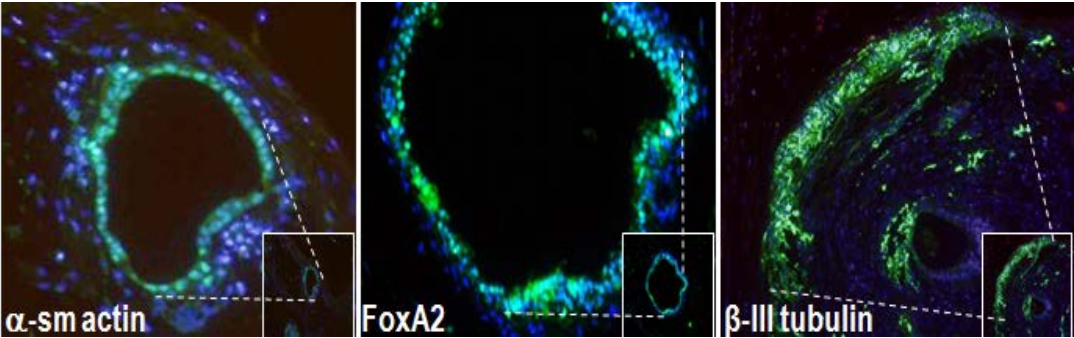


Figura 7. cariotipo por bandeo G

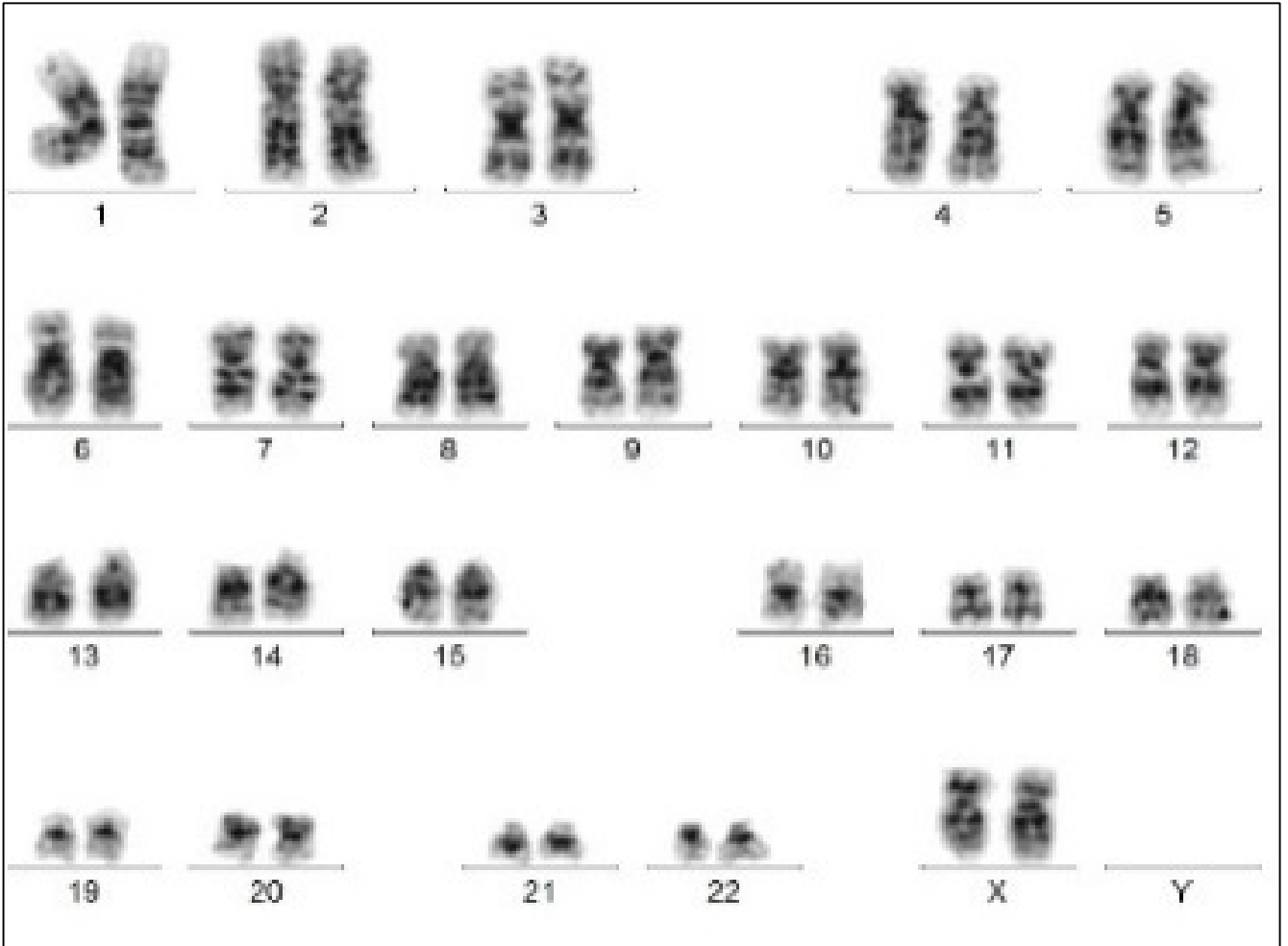


Figura 8. Eliminación Sendai Virus – no integración del transgén

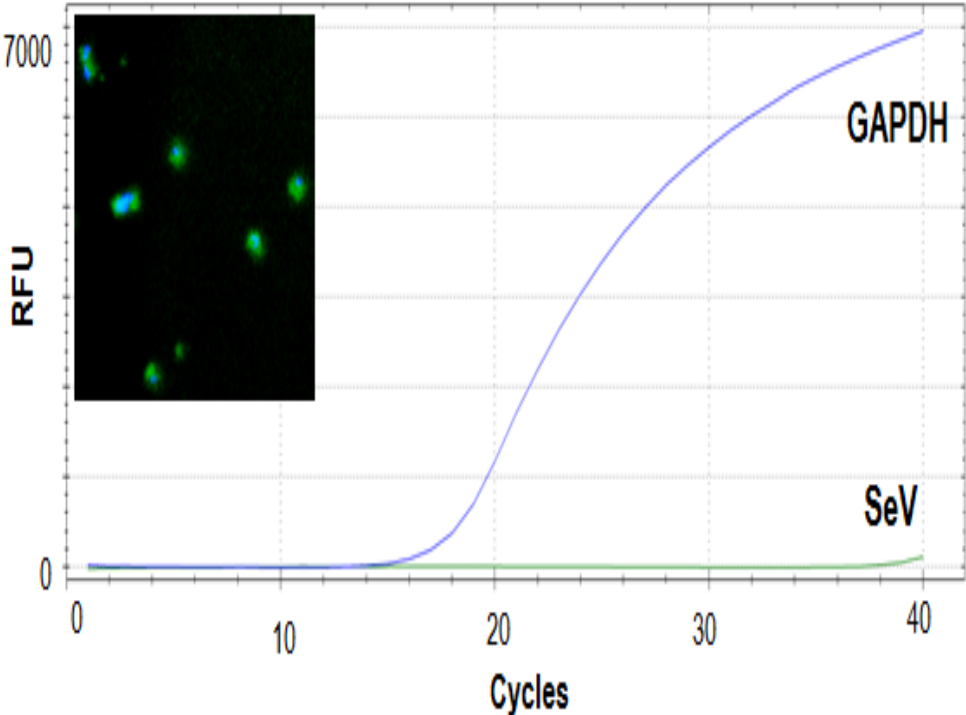




Figura 9. Demetilación de los promotores de Nanog y Oct-4

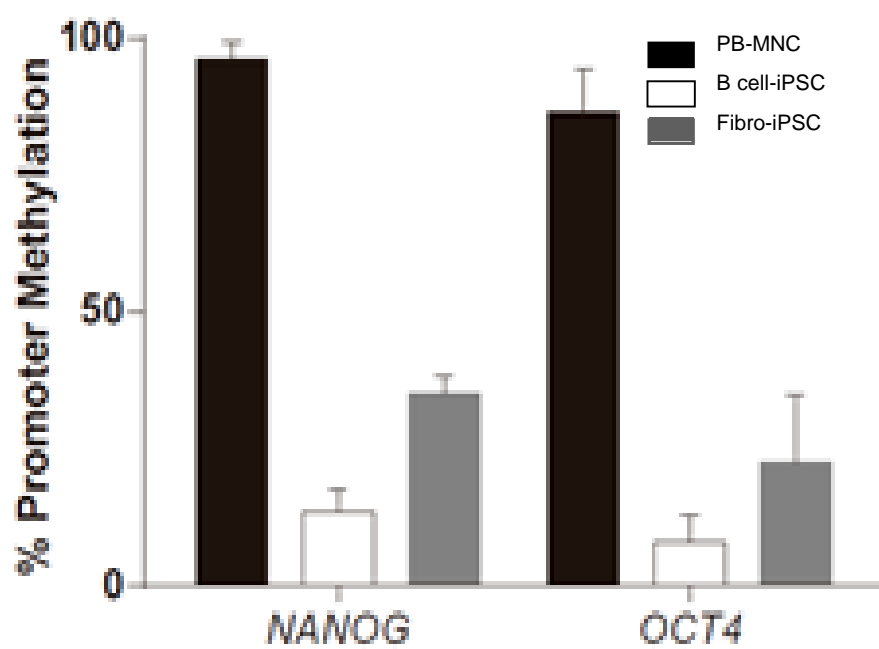


Figura 10. Negatividad para micoplasma

